

Fig. 1.93. Spatial distribution of the winter maximum cumulative duration of severe warm spells
 Distribuția spațială a duratei cumulate maxime a perioadelor calde severe din anotimpul de iarnă

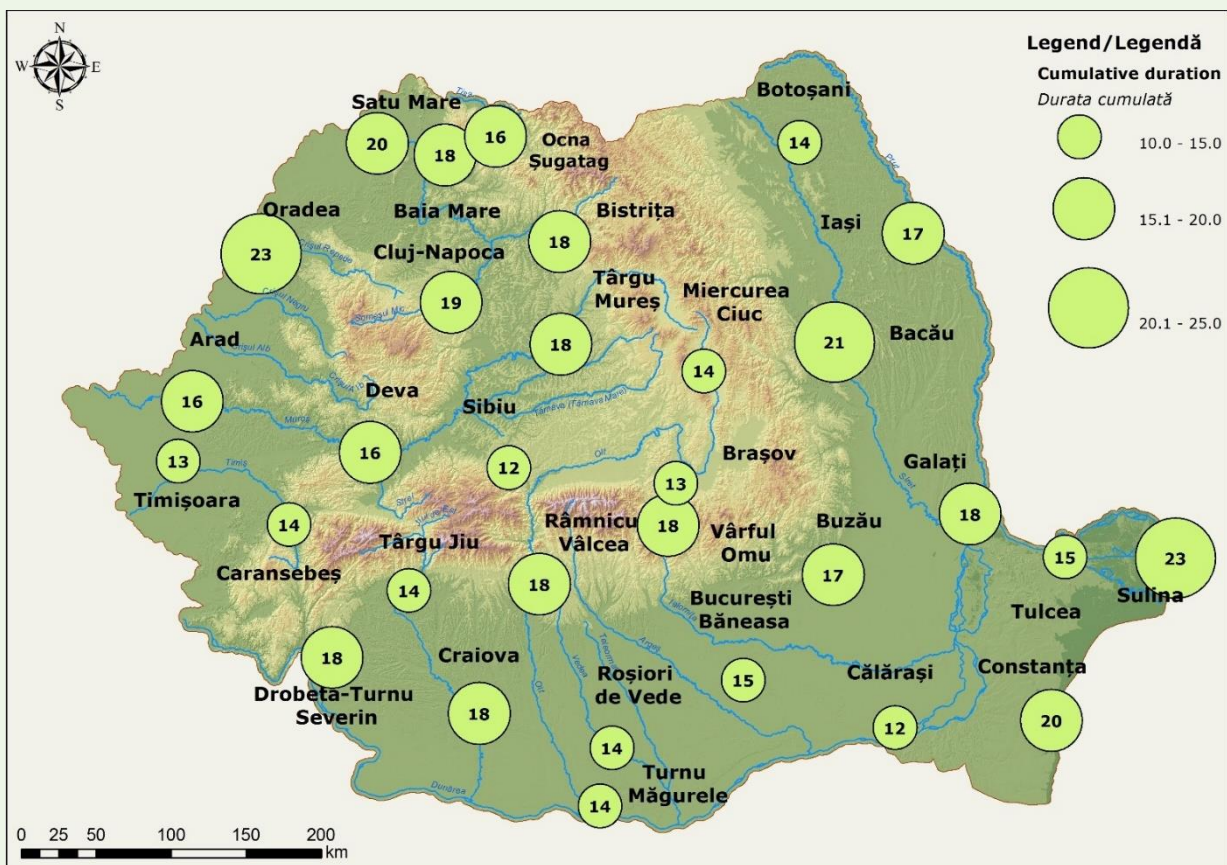


Fig. 1.94. Spatial distribution of the spring maximum cumulative duration of severe warm spells
 Distribuția spațială a duratei cumulate maxime a perioadelor calde severe din anotimpul de primăvară

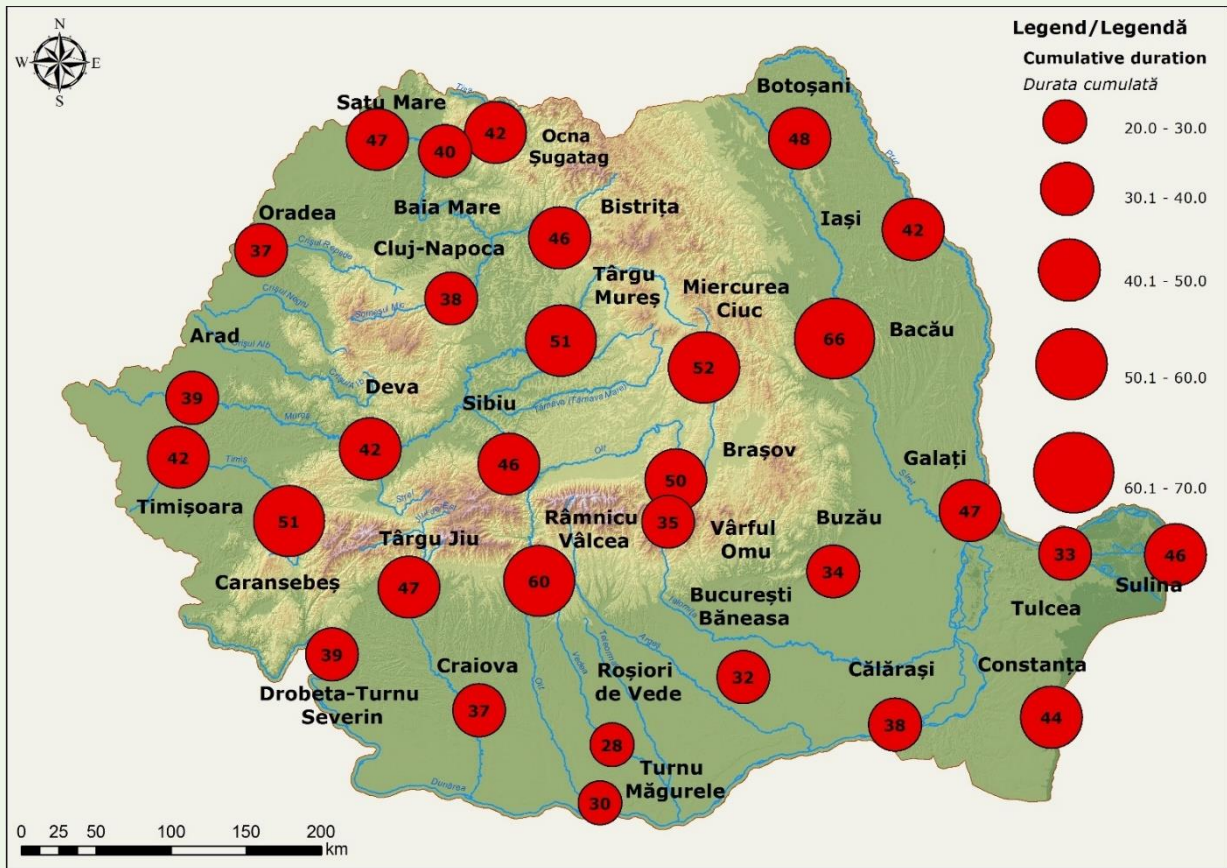


Fig. 1.95. Spatial distribution of the summer maximum cumulative duration of severe heat waves
 Distribuția spațială a duratei cumulate maxime a valorilor de căldură severe din anotimpul de vară

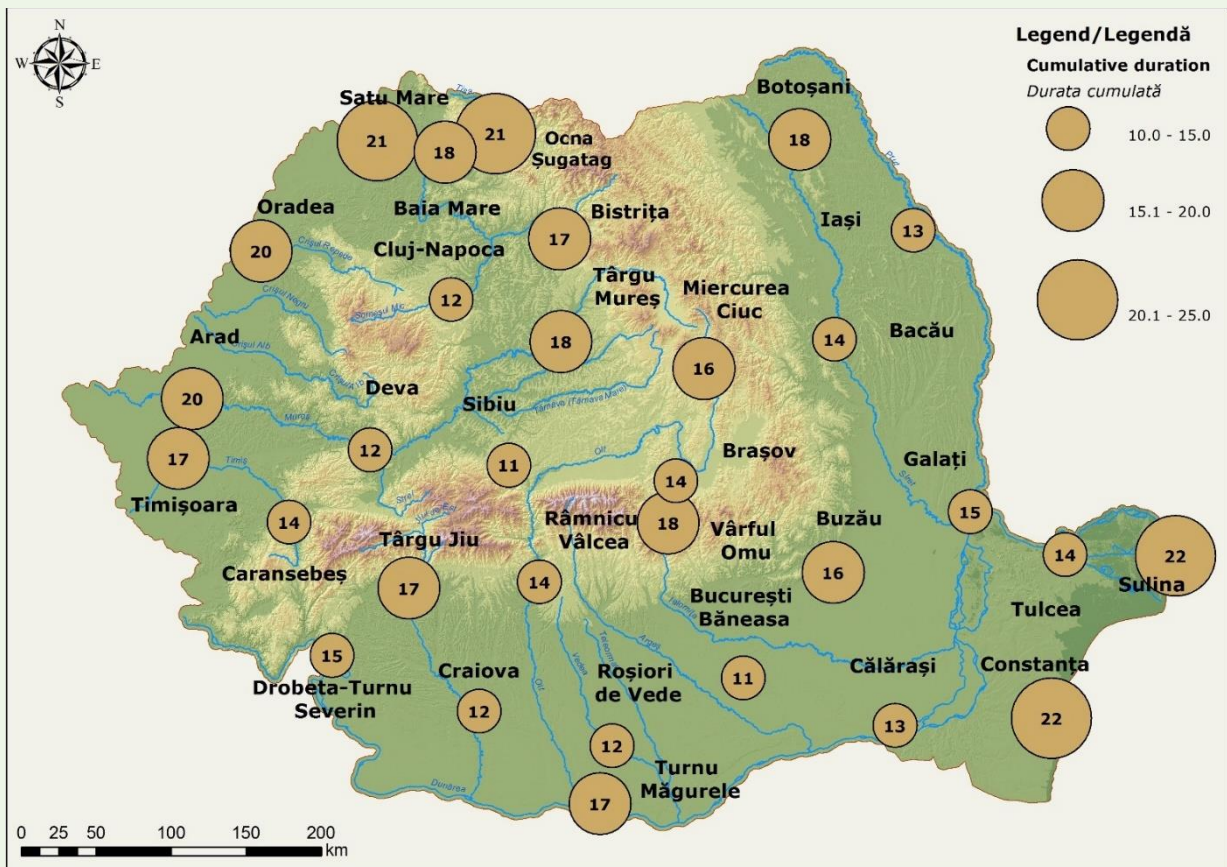


Fig. 1.96. Spatial distribution of the autumn maximum cumulative duration of severe warm spells
 Distribuția spațială a duratei cumulate maxime a perioadelor calde severe din anotimpul de toamnă

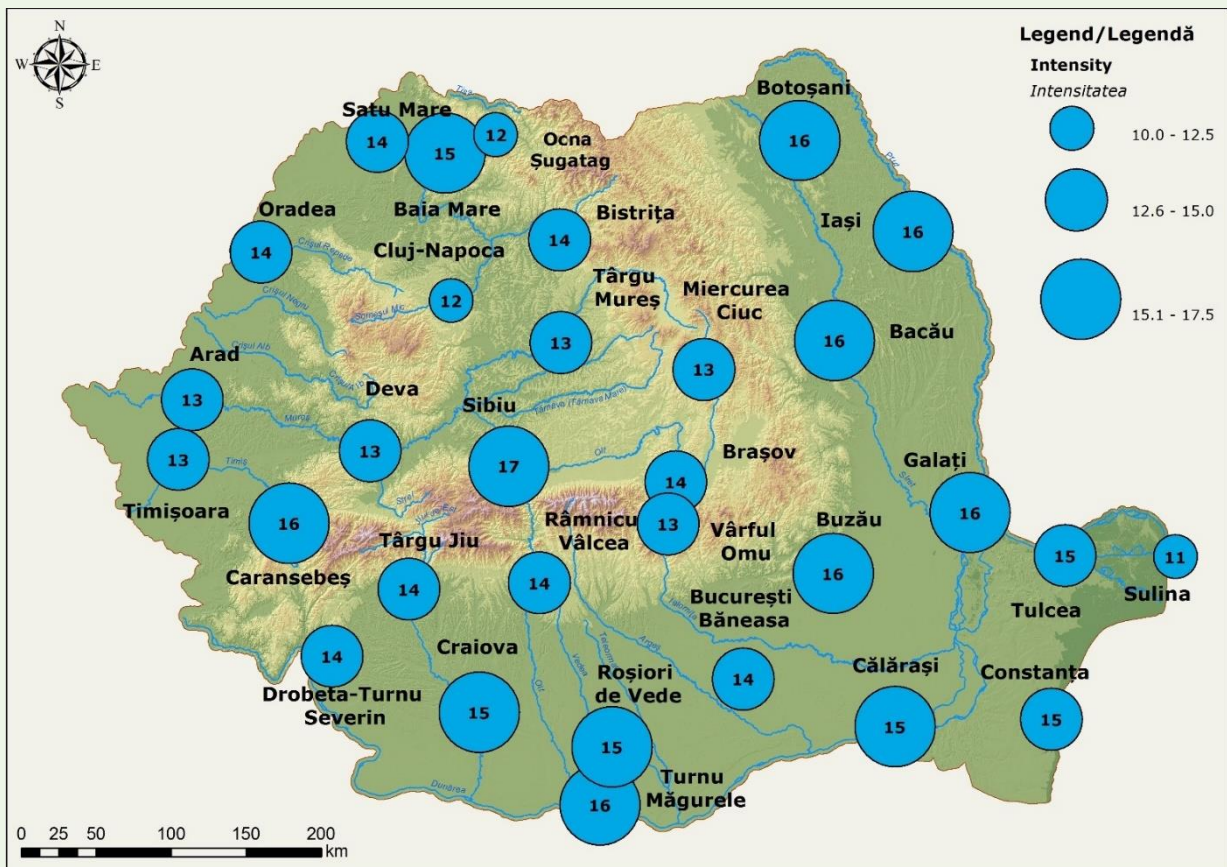


Fig. 1.97. Spatial distribution of the winter maximum intensity of severe warm spells
 Distribuția spațială a intensității maxime a perioadelor calde severe din anotimpul de iarnă

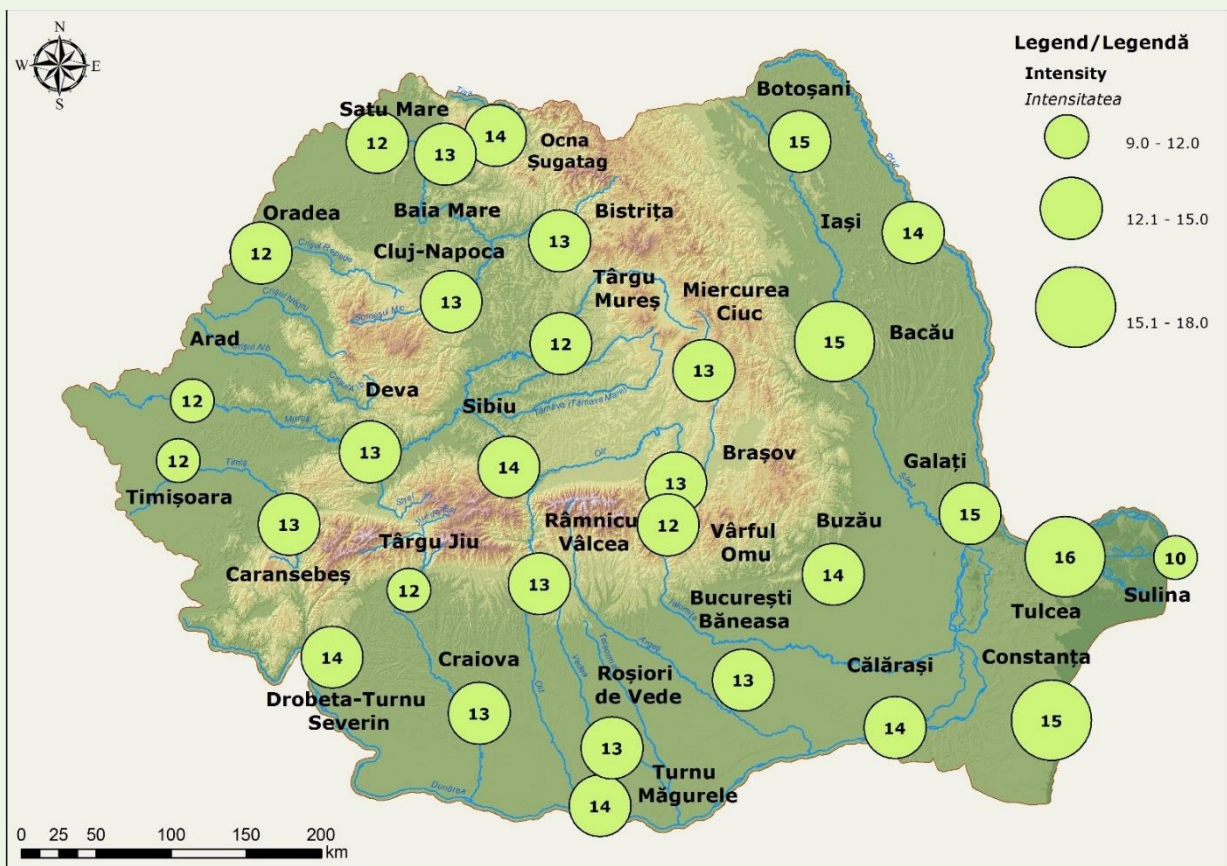


Fig. 1.98. Spatial distribution of the spring maximum intensity of severe warm spells
 Distribuția spațială a intensității maxime a perioadelor calde severe din anotimpul de primăvară

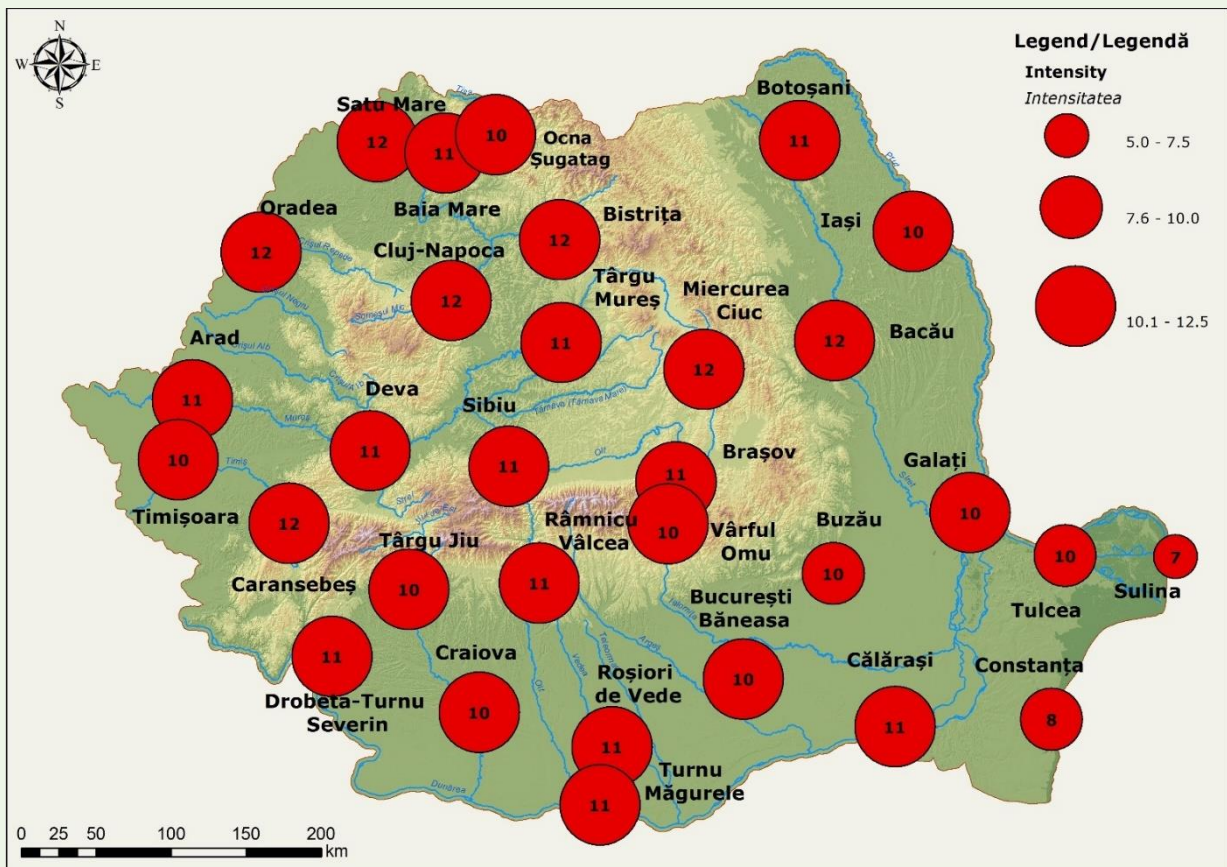


Fig. 1.99. Spatial distribution of the summer maximum intensity of severe heat waves
 Distribuția spațială a intensității maxime a valurilor de căldură severe din anotimpul de vară

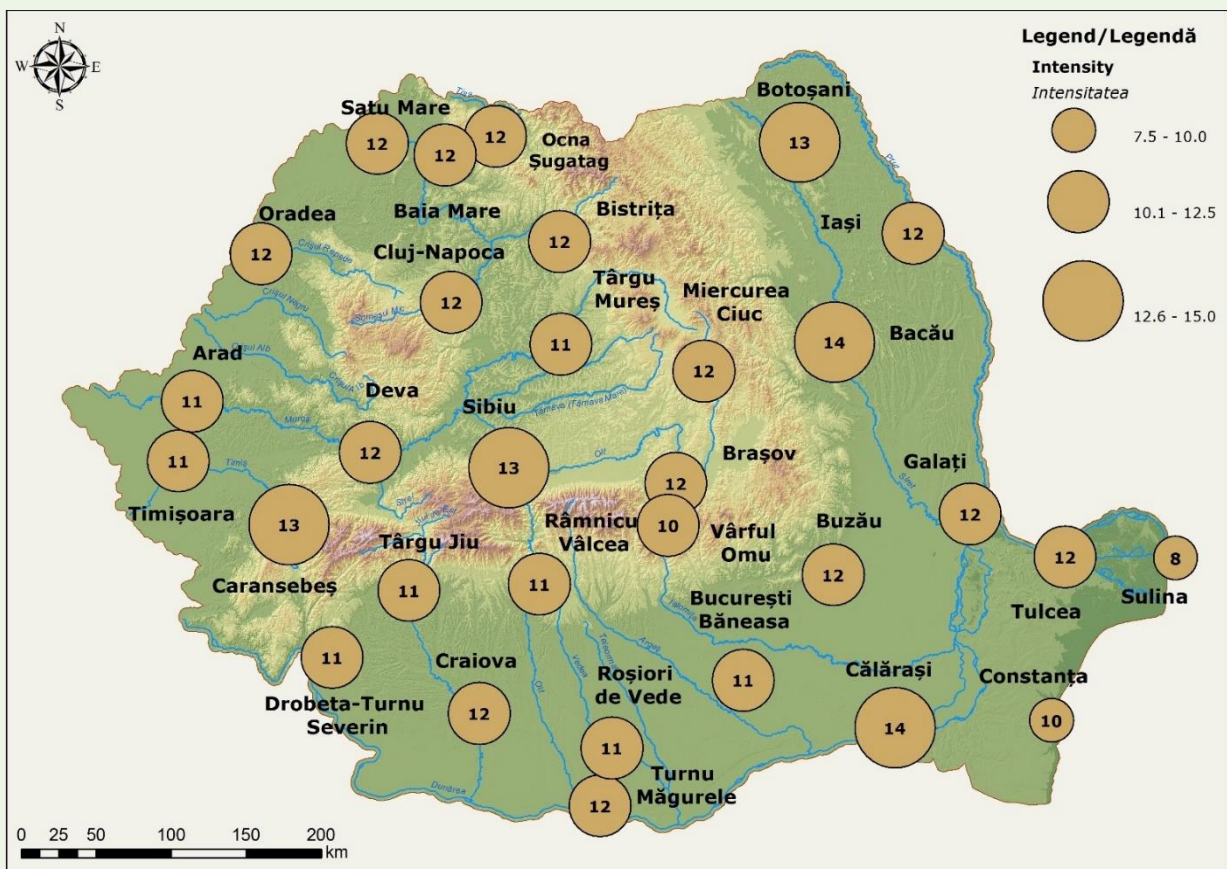


Fig. 1.100. Spatial distribution of the autumn maximum intensity of severe warm spells
 Distribuția spațială a intensității maxime a perioadelor calde severe din anotimpul de toamnă

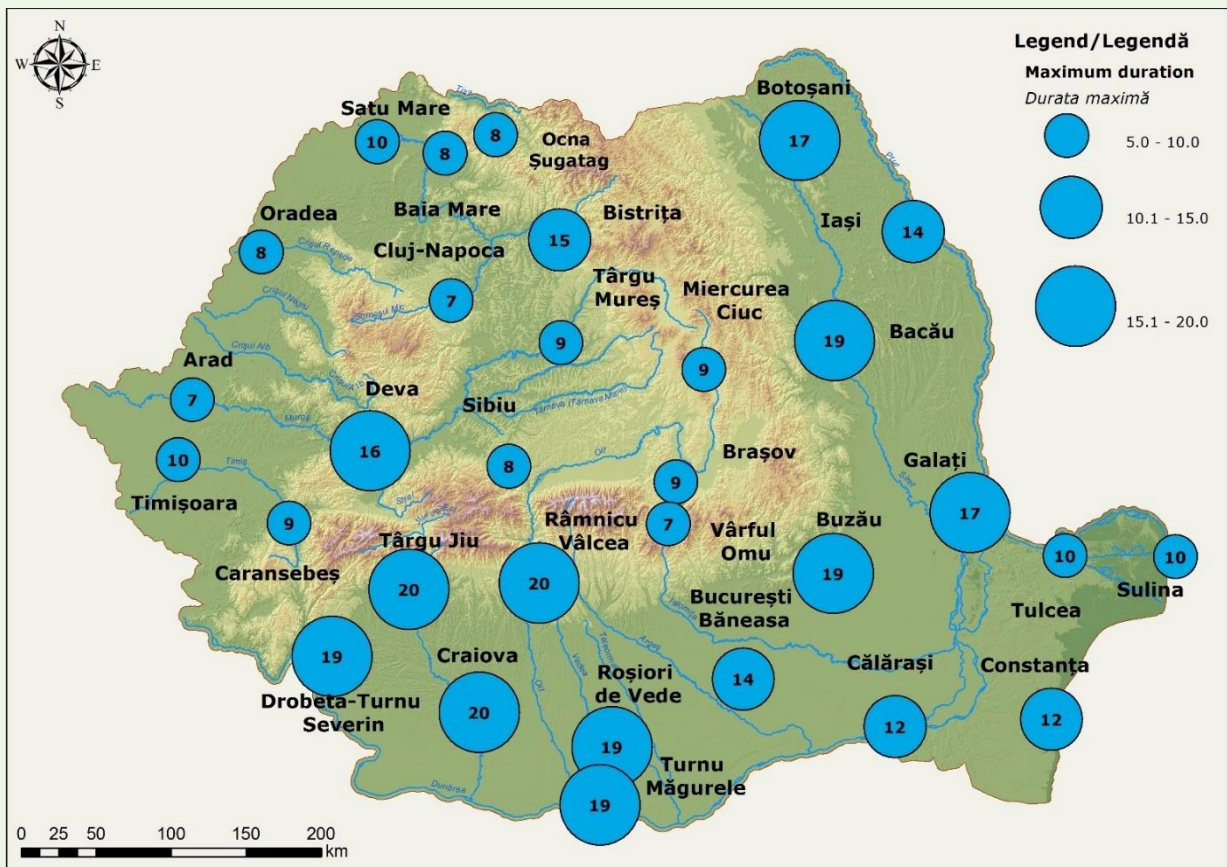


Fig. 1.101. Spatial distribution of the winter maximum duration of severe warm spells
 Distribuția spațială a duratei maxime a perioadelor calde severe din anotimpul de iarnă

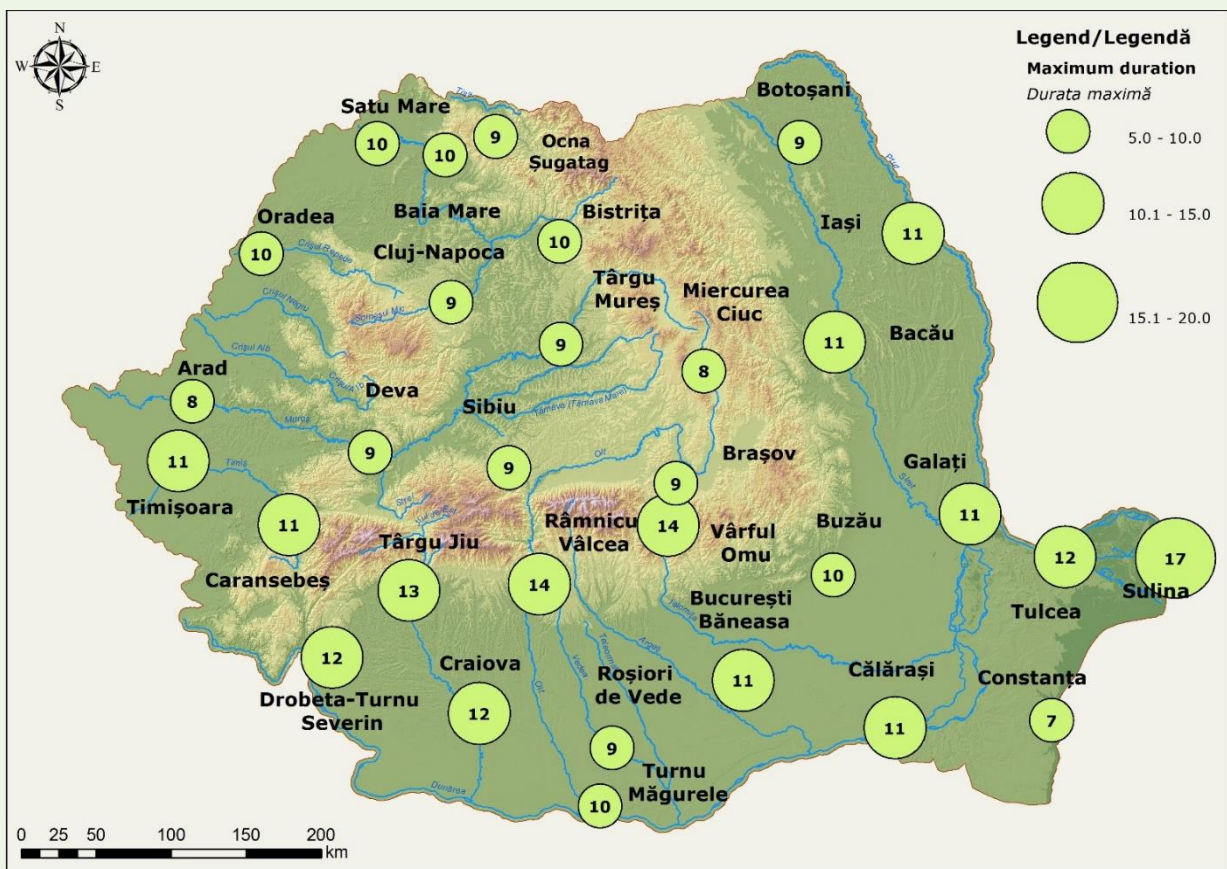


Fig. 1.102. Spatial distribution of the spring maximum duration of severe warm spells
 Distribuția spațială a duratei maxime a perioadelor calde severe din anotimpul de primăvară

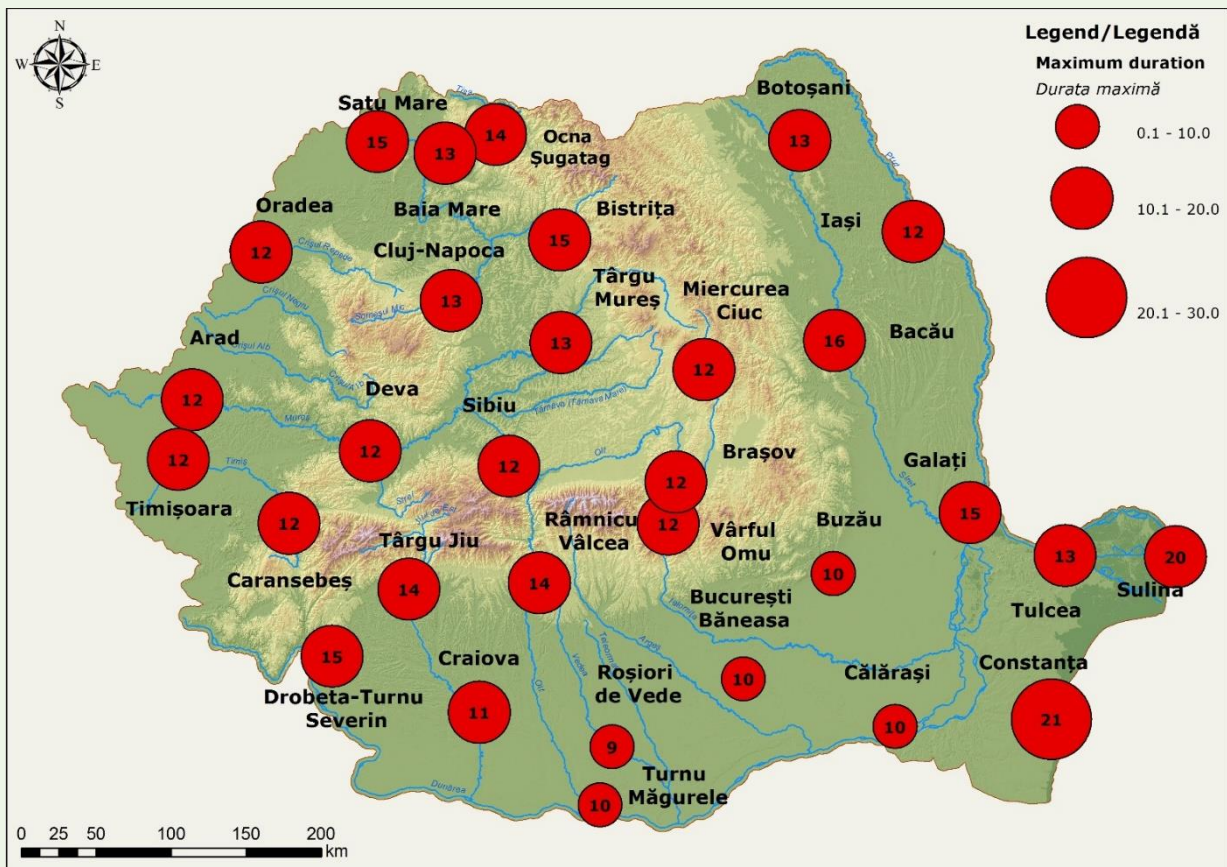


Fig. 1.103. Spatial distribution of the summer maximum duration of severe heat waves
 Distribuția spațială a duratei maxime a valurilor de căldură severe din anotimpul de vară

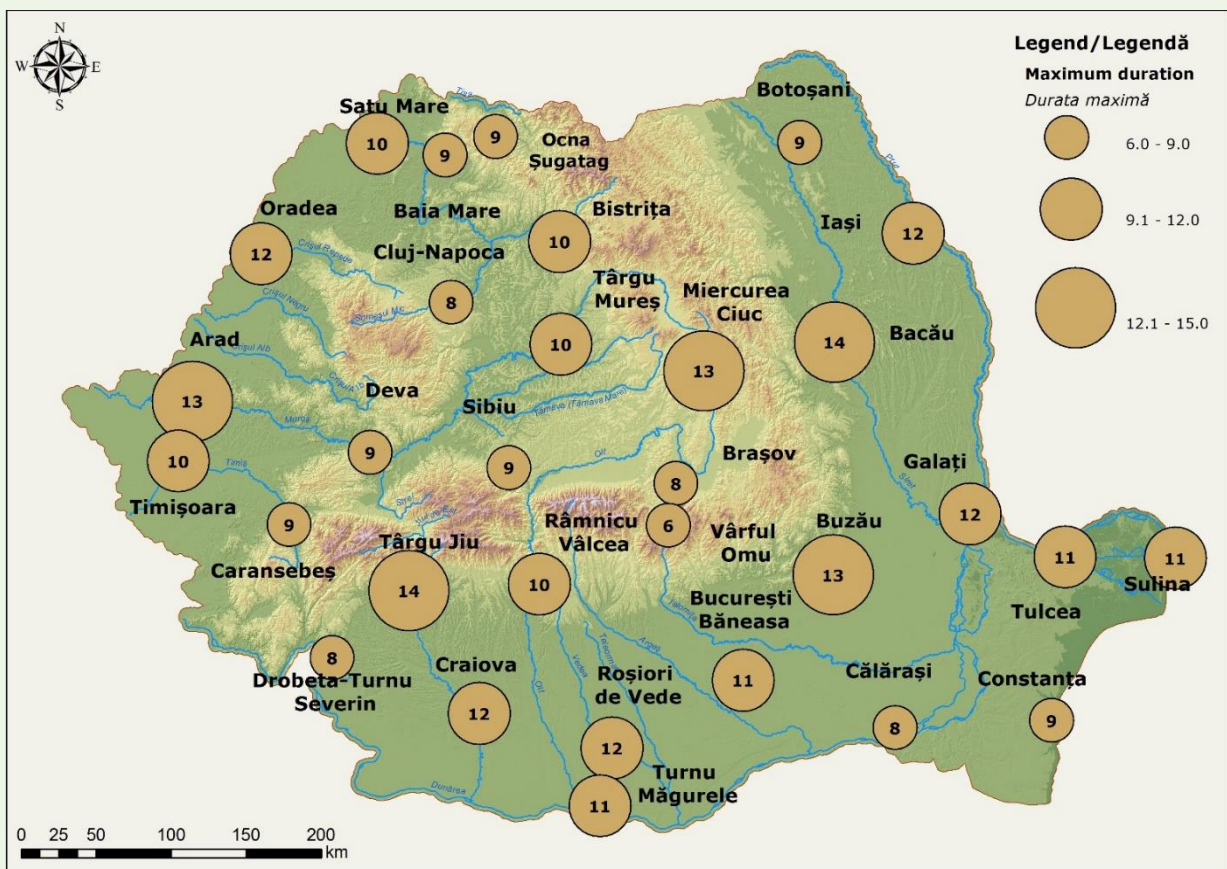


Fig. 1.104. Spatial distribution of the autumn maximum duration of severe warm spells
 Distribuția spațială a duratei maxime a perioadelor calde severe din anotimpul de toamnă

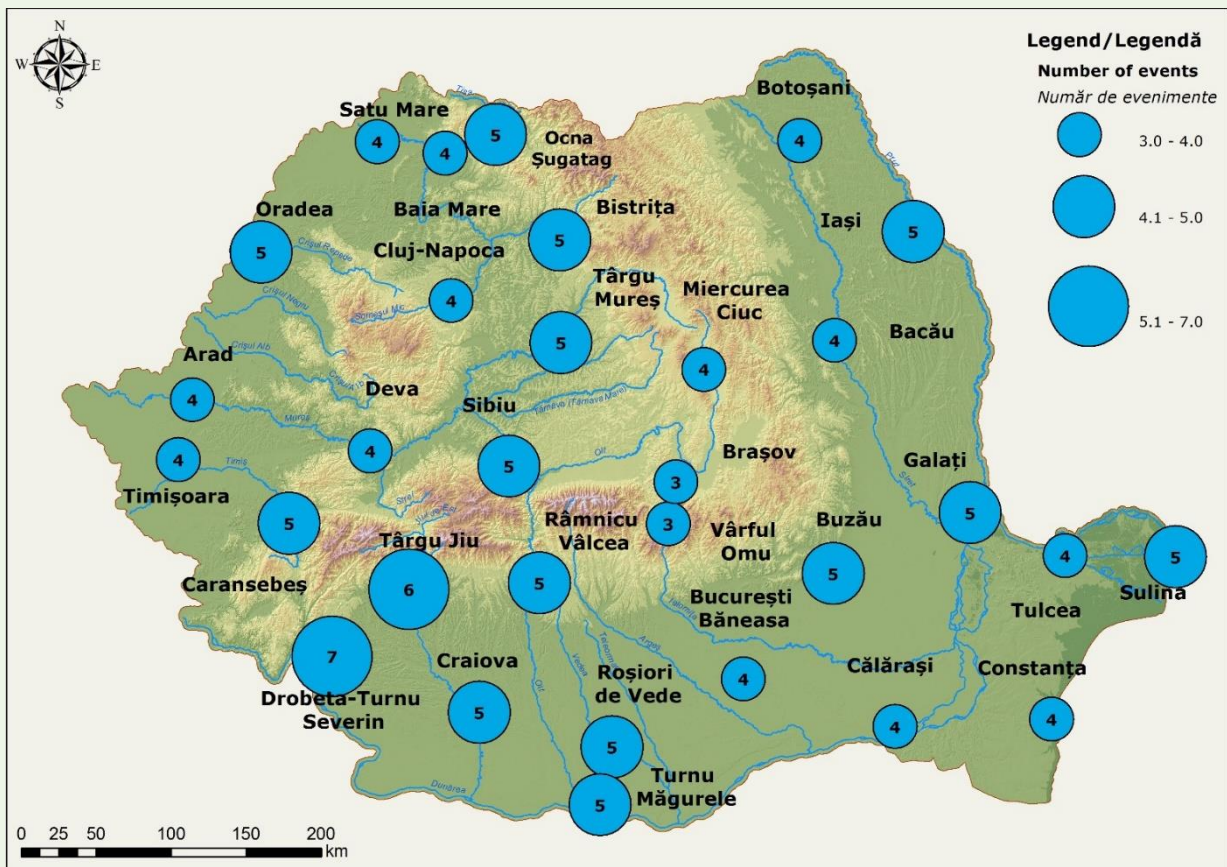


Fig. 1.105. Spatial distribution of the winter maximum number of severe warm spells
 Distribuția spațială a numărului maxim al perioadelor calde severe din anotimpul de iarnă

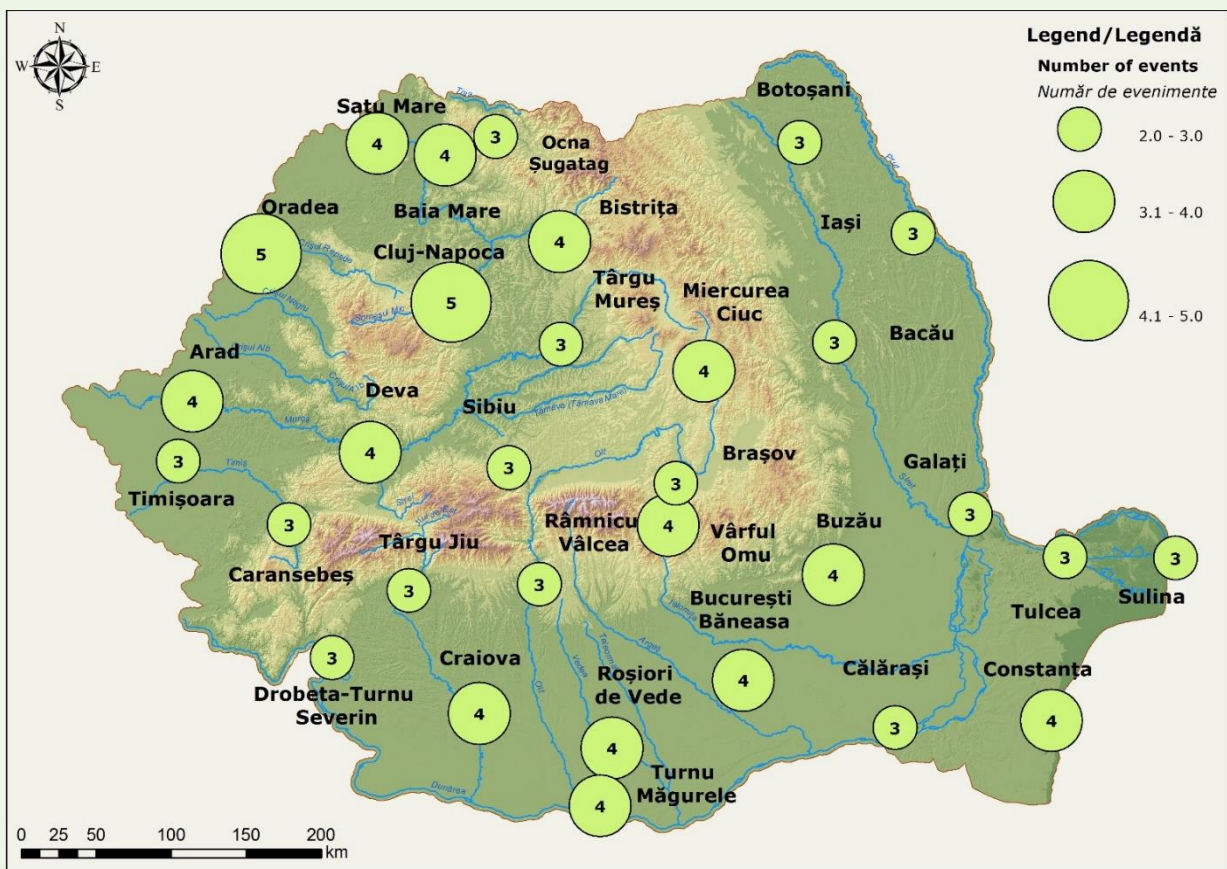


Fig. 1.106. Spatial distribution of the spring maximum number of severe warm spells
 Distribuția spațială a numărului maxim al perioadelor calde severe din anotimpul de primăvară

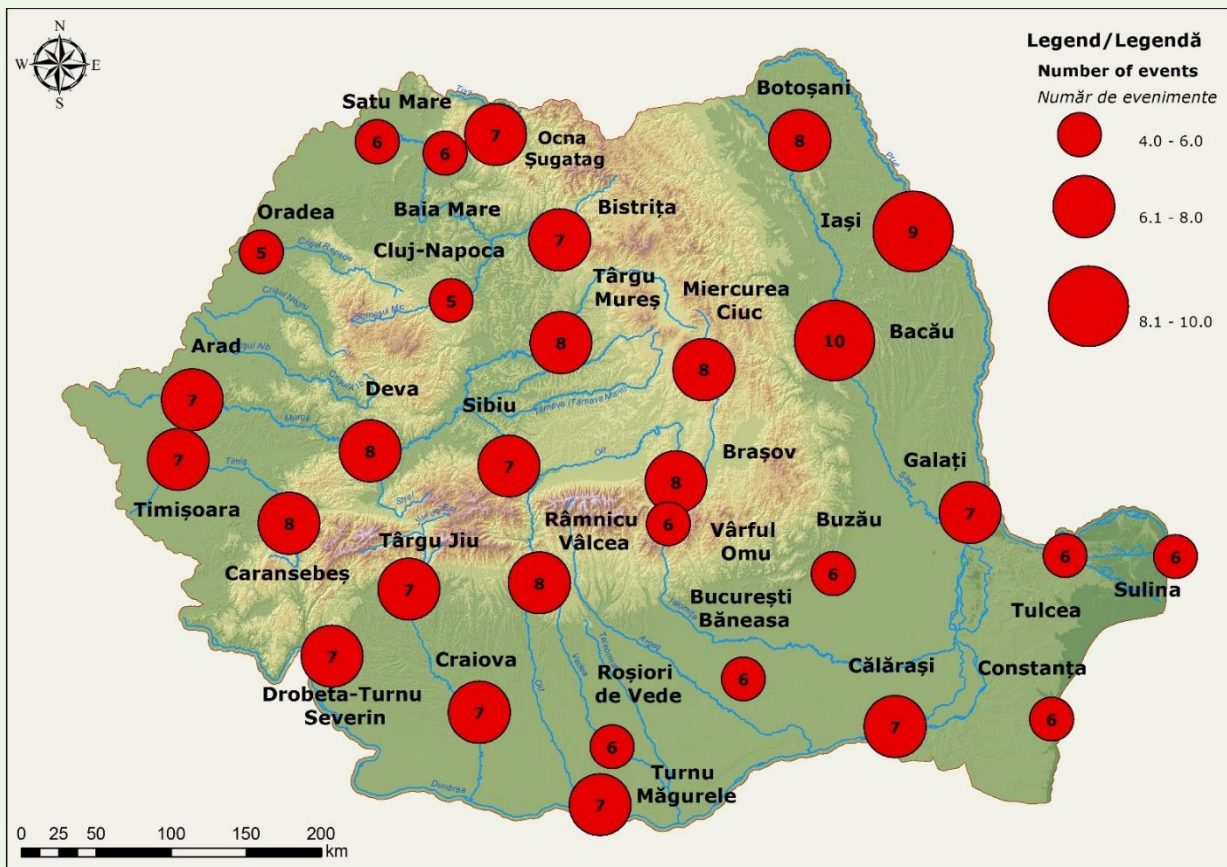


Fig. 1.107. Spatial distribution of the summer maximum number of severe heat waves
 Distribuția spațială a numărului maxim al valurilor de căldură severe din anotimpul de vară

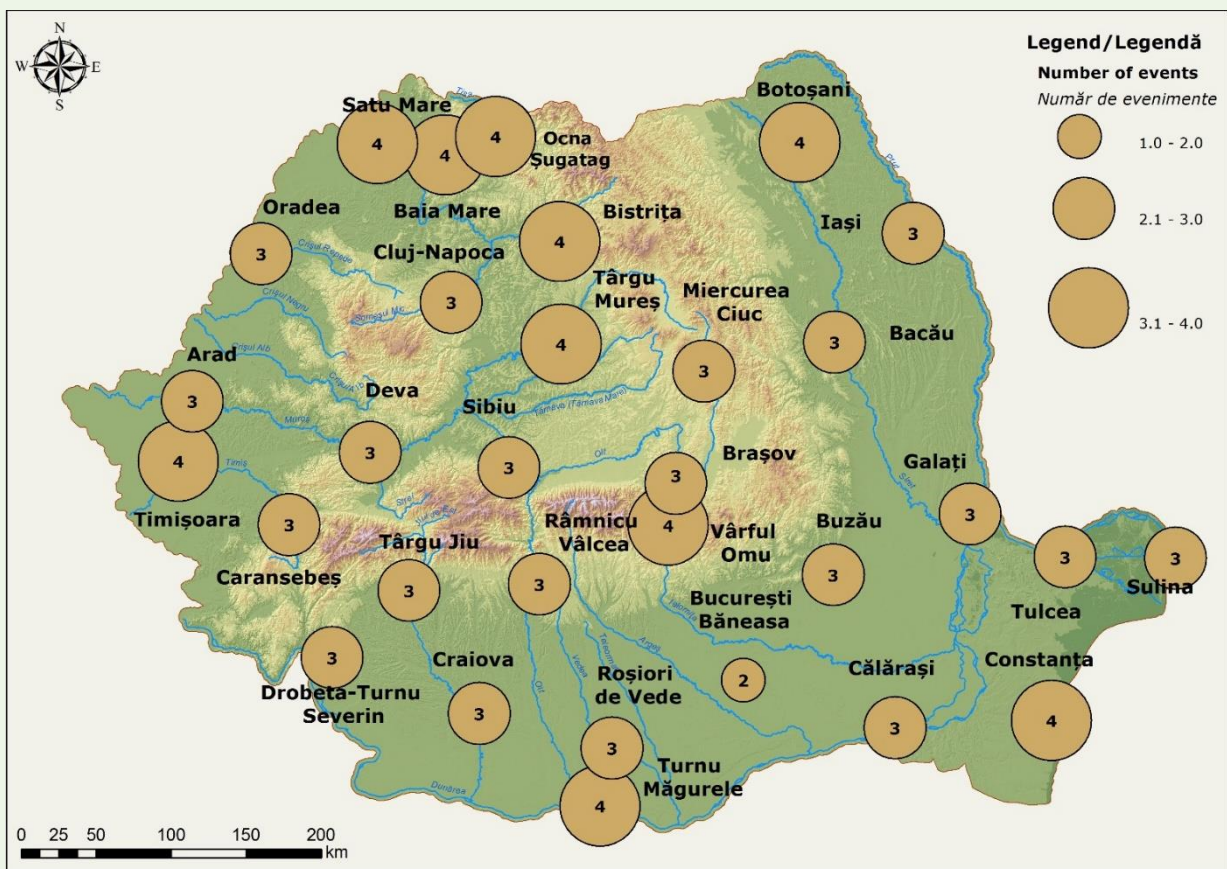


Fig. 1.108. Spatial distribution of the autumn maximum number of severe warm spells
 Distribuția spațială a numărului maxim al perioadelor calde severe din anotimpul de toamnă

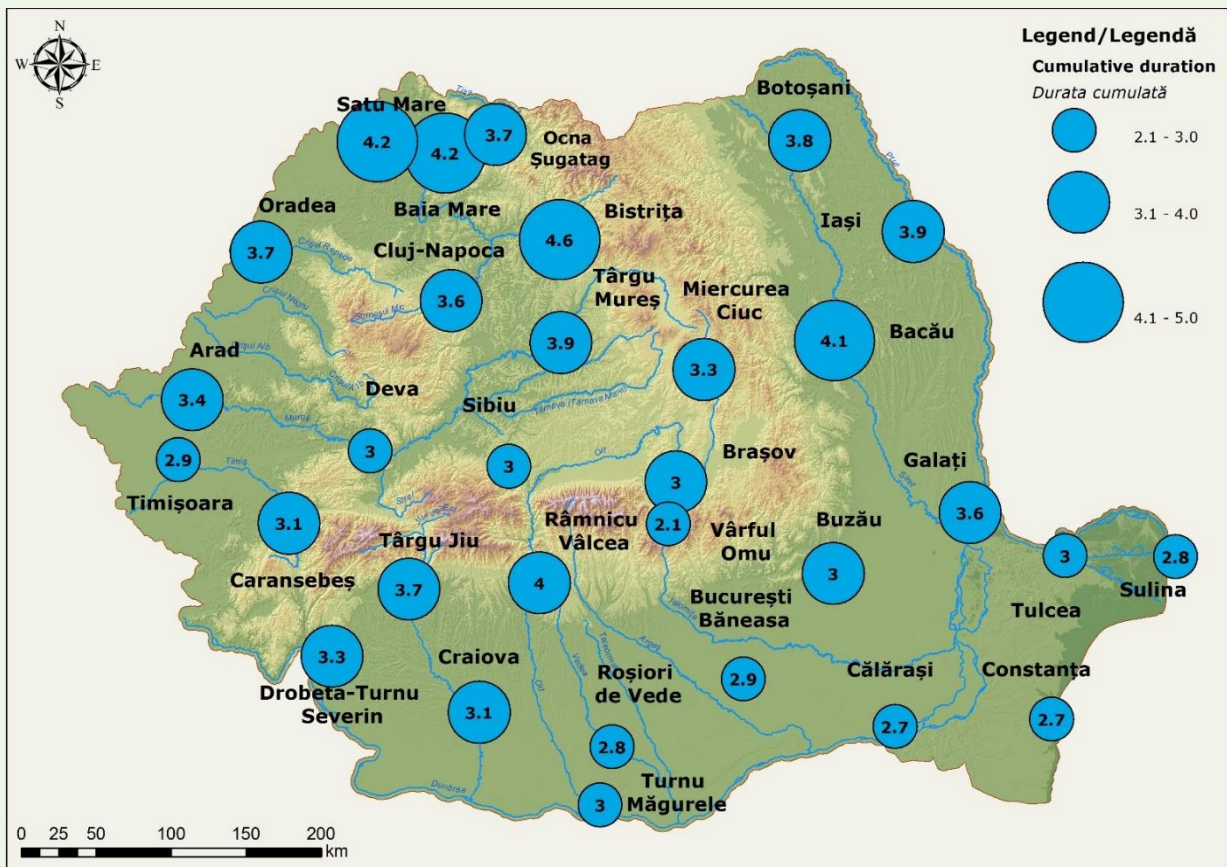


Fig. 1.109. Spatial distribution of the winter mean cumulative duration of severe warm spells
 Distribuția spațială a duratei cumulate medii a perioadelor calde severe din anotimpul de iarnă

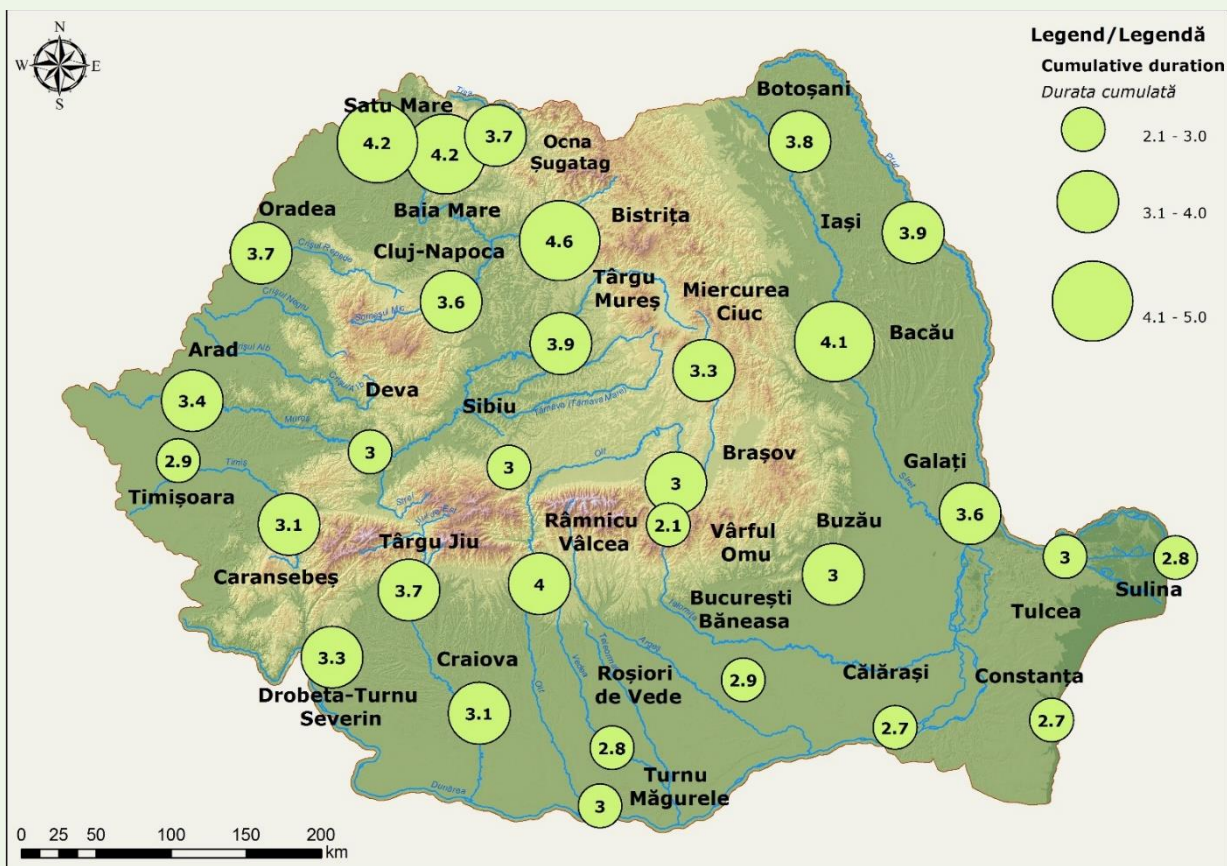


Fig. 1.110. Spatial distribution of the spring mean cumulative duration of severe warm spells
 Distribuția spațială a duratei cumulate medii a perioadelor calde severe din anotimpul de primăvară

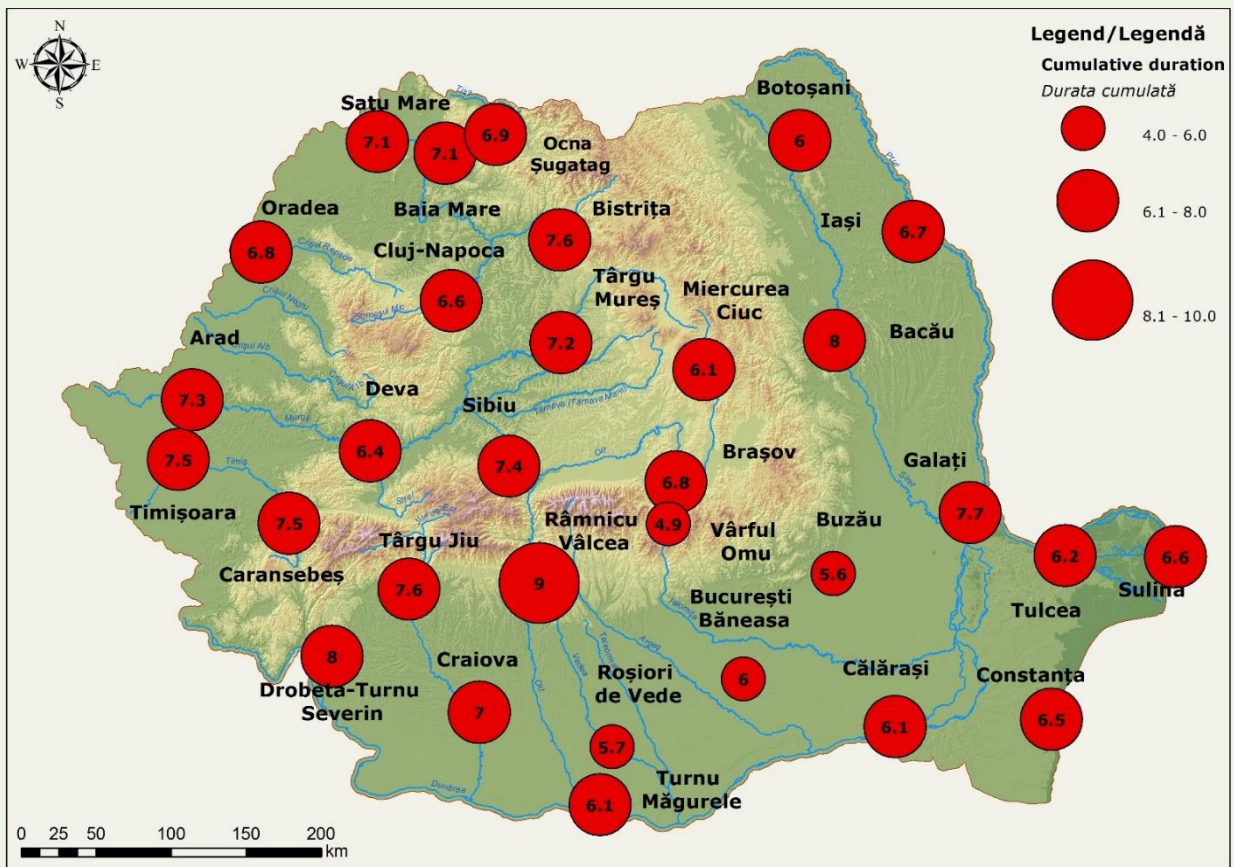


Fig. 1.111. Spatial distribution of the summer mean cumulative duration of severe heat waves
 Distribuția spațială a duratei cumulate medii a valurilor de căldură severe din anotimpul de vară

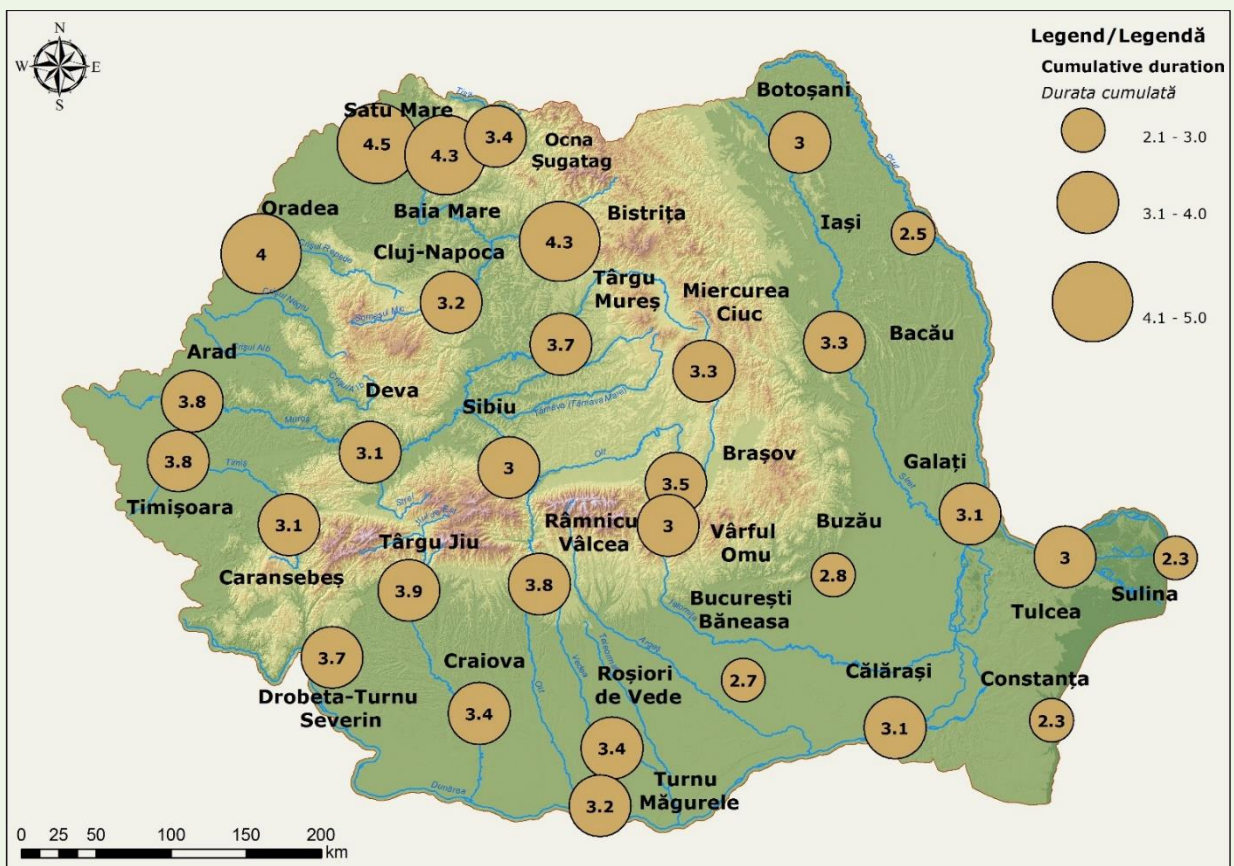


Fig. 1.112. Spatial distribution of the autumn mean cumulative duration of severe warm spells
 Distribuția spațială a duratei cumulate medii a perioadelor calde severe din anotimpul de toamnă

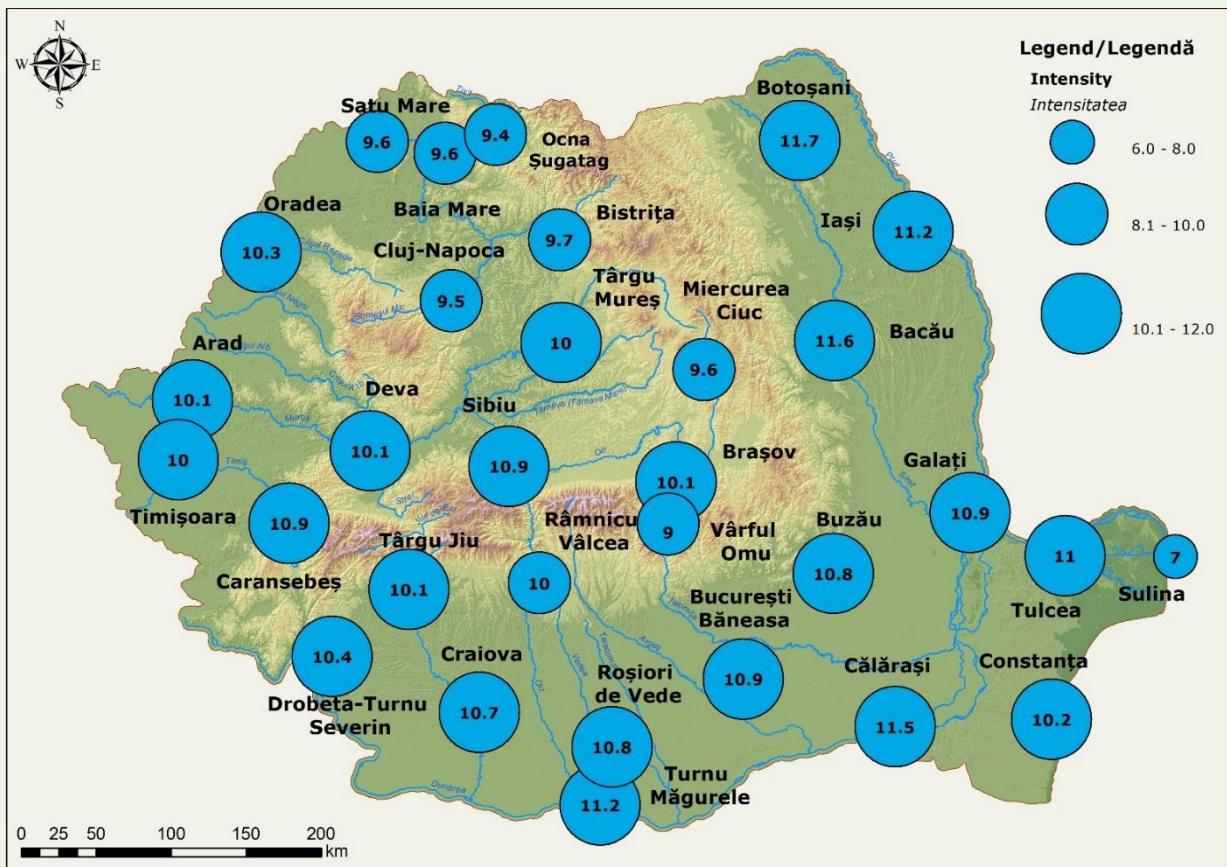


Fig. 1.113. Spatial distribution of the winter mean intensity of severe warm spells
 Distribuția spațială a intensității medii a perioadelor calde severe din anotimpul de iarnă

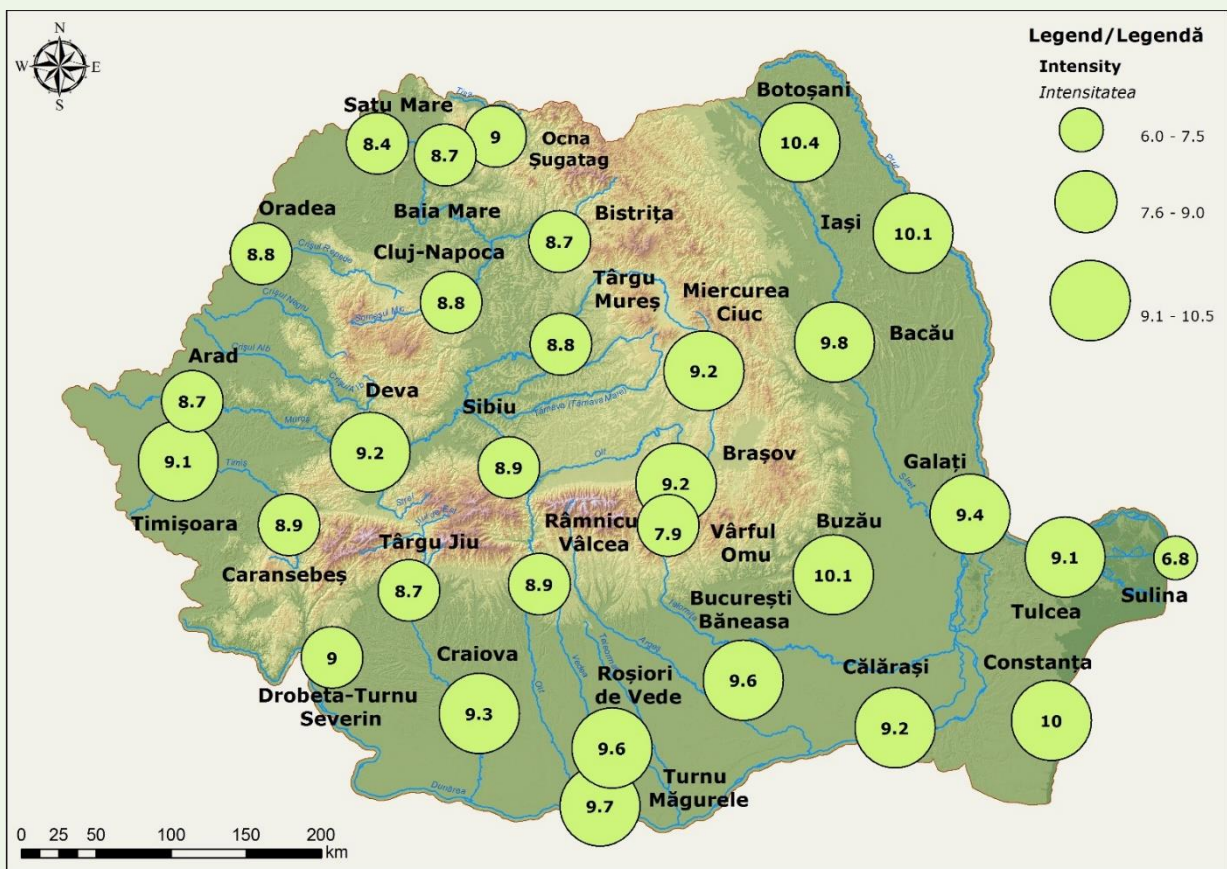


Fig. 1.114. Spatial distribution of the spring mean intensity of severe warm spells
 Distribuția spațială a intensității medii a perioadelor calde severe din anotimpul de primăvară

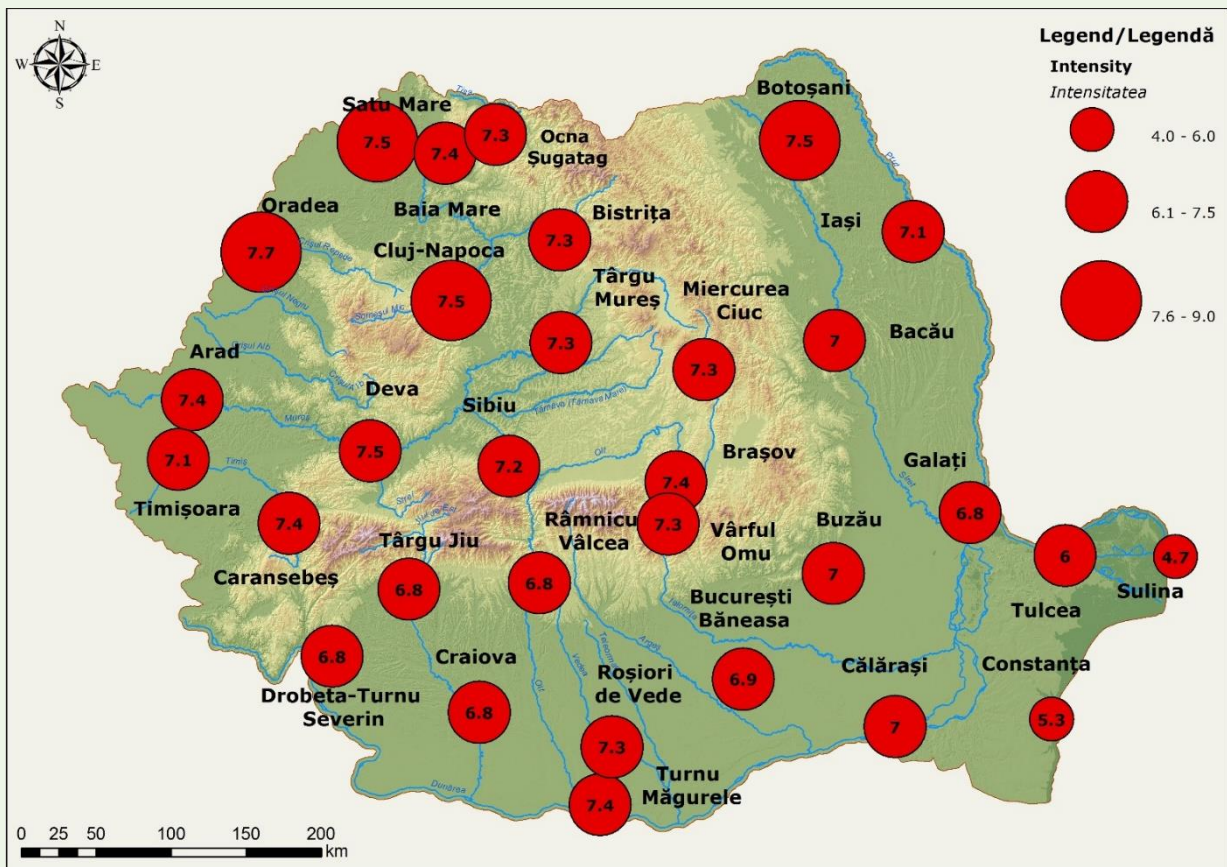


Fig. 1.115. Spatial distribution of the summer mean intensity of severe heat waves
 Distribuția spațială a intensității medii a valurilor de căldură severe din anotimpul de vară

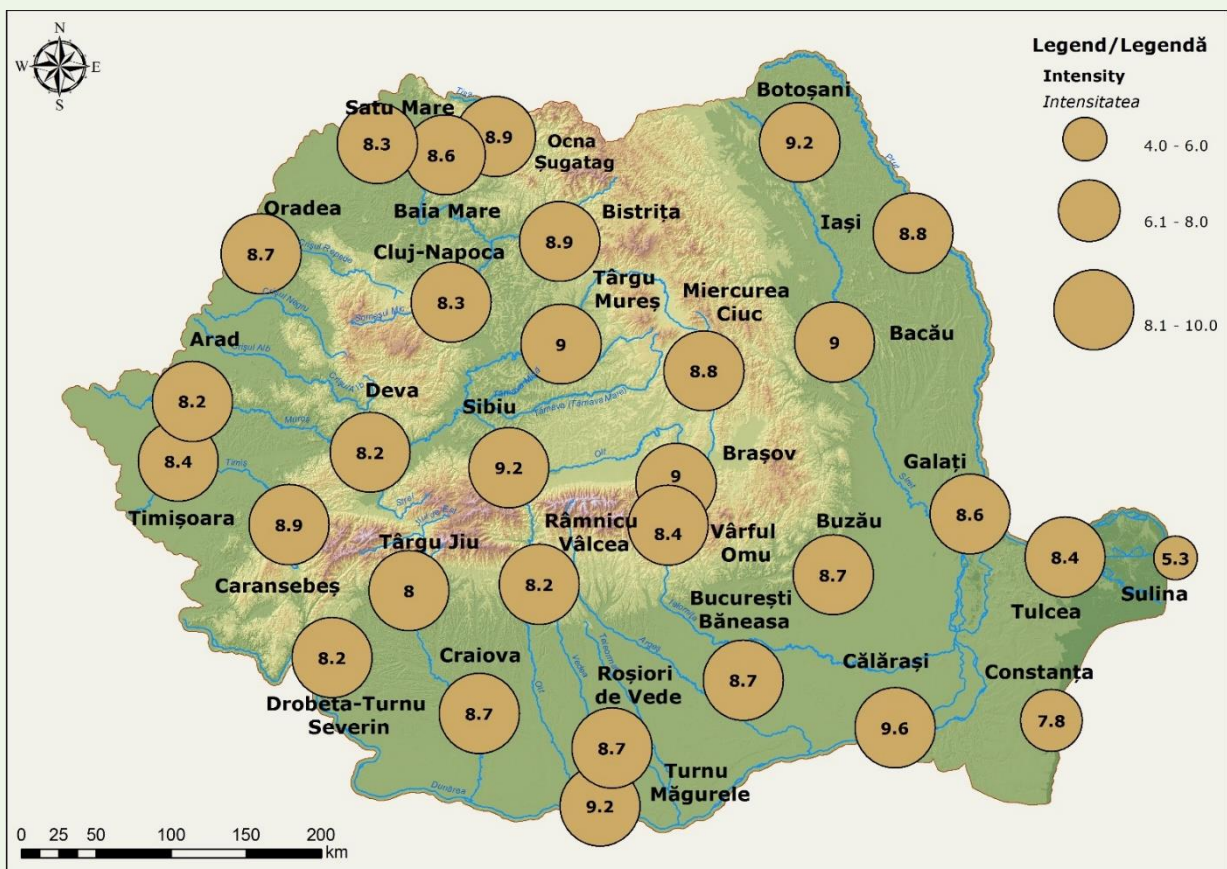


Fig. 1.116. Spatial distribution of the autumn mean intensity of severe warm spells
 Distribuția spațială a intensității medii a perioadelor calde severe din anotimpul de toamnă

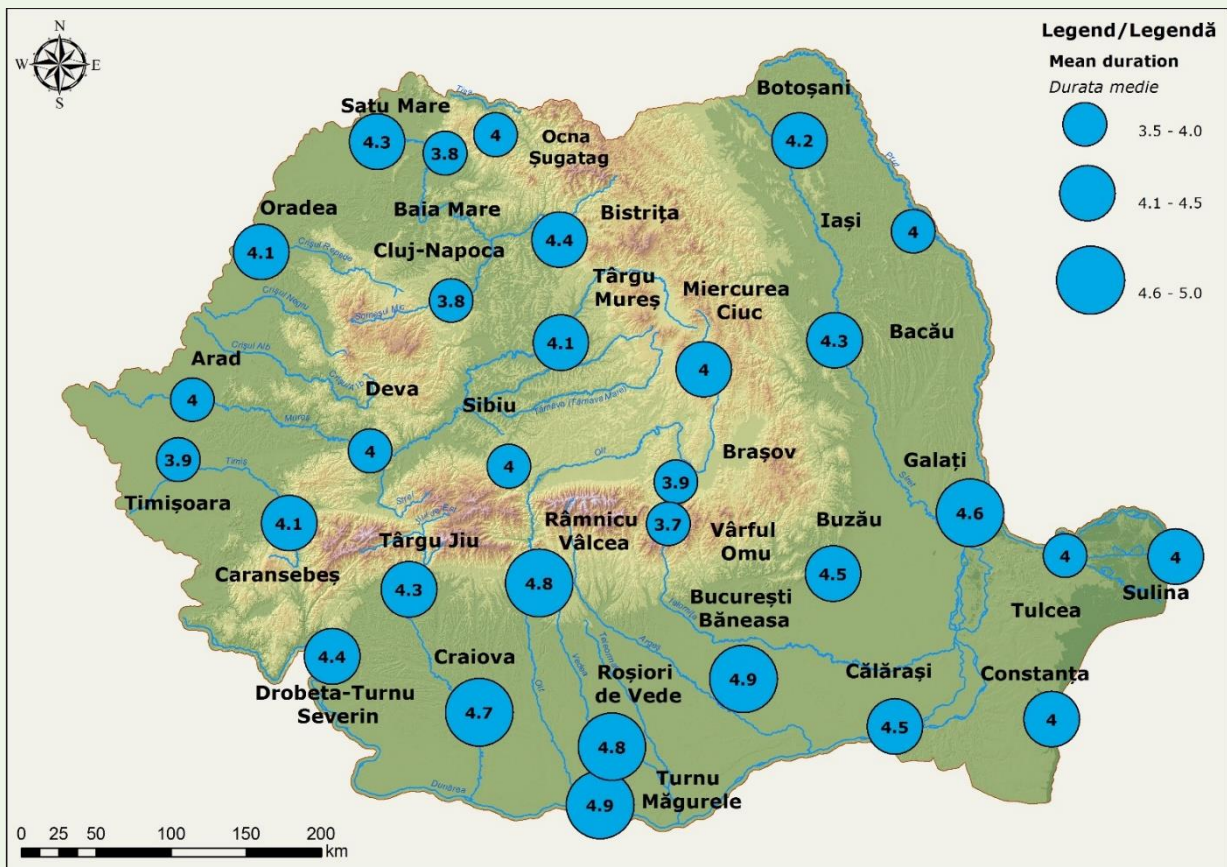


Fig. 1.117. Spatial distribution of the winter mean duration of severe warm spells
 Distribuția spațială a duratei medii a perioadelor calde severe din anotimpul de iarnă

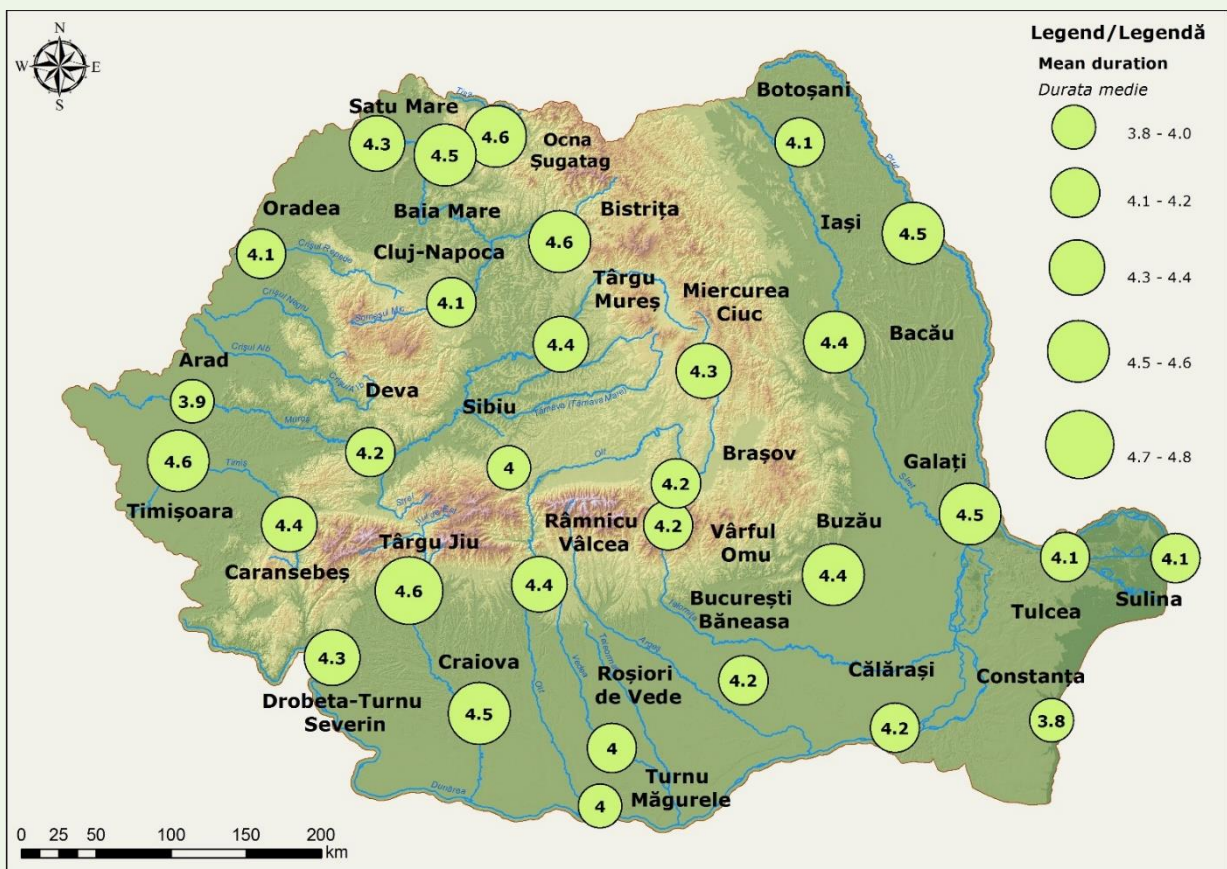


Fig. 1.118. Spatial distribution of the spring mean duration of severe warm spells
 Distribuția spațială a duratei medii a perioadelor calde severe din anotimpul de primăvară

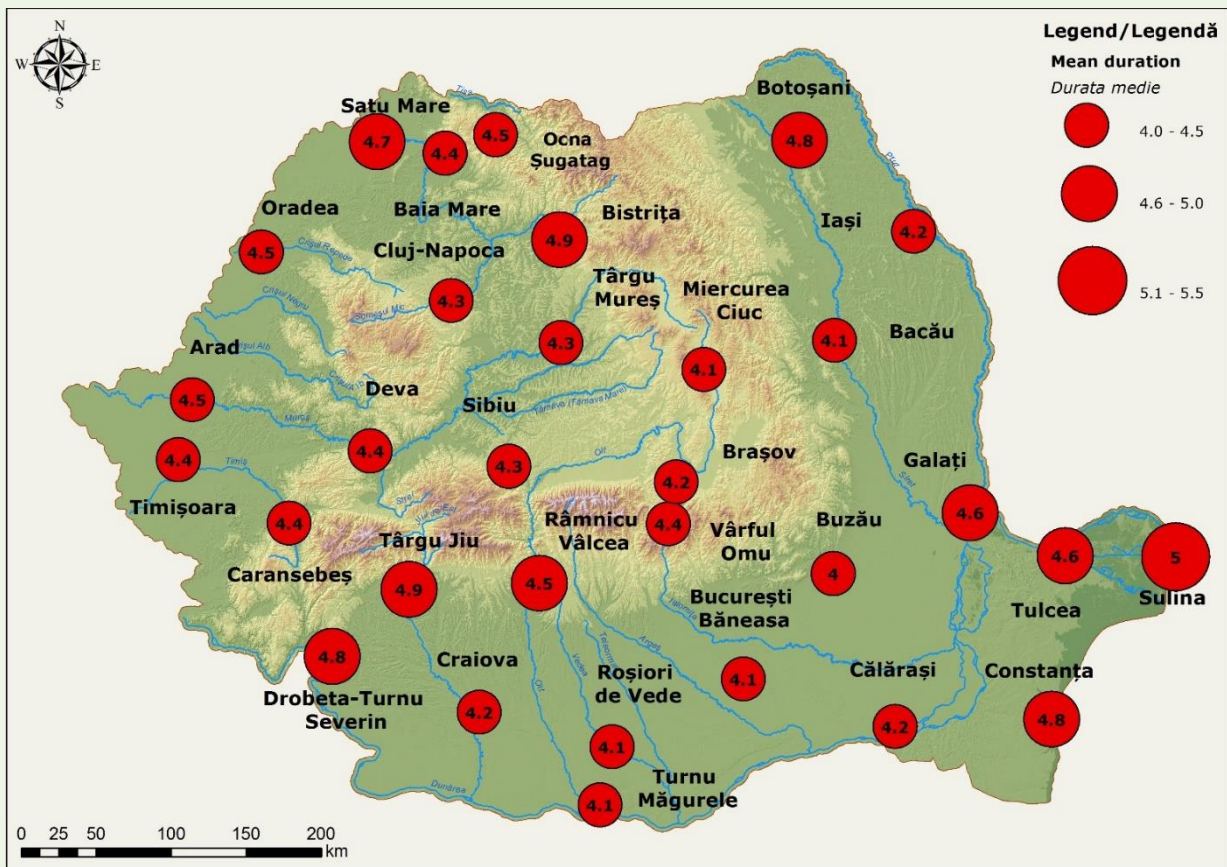


Fig. 1.119. Spatial distribution of the summer mean duration of severe heat waves
 Distribuția spațială a duratei medii a valurilor de căldură severe din anotimpul de vară

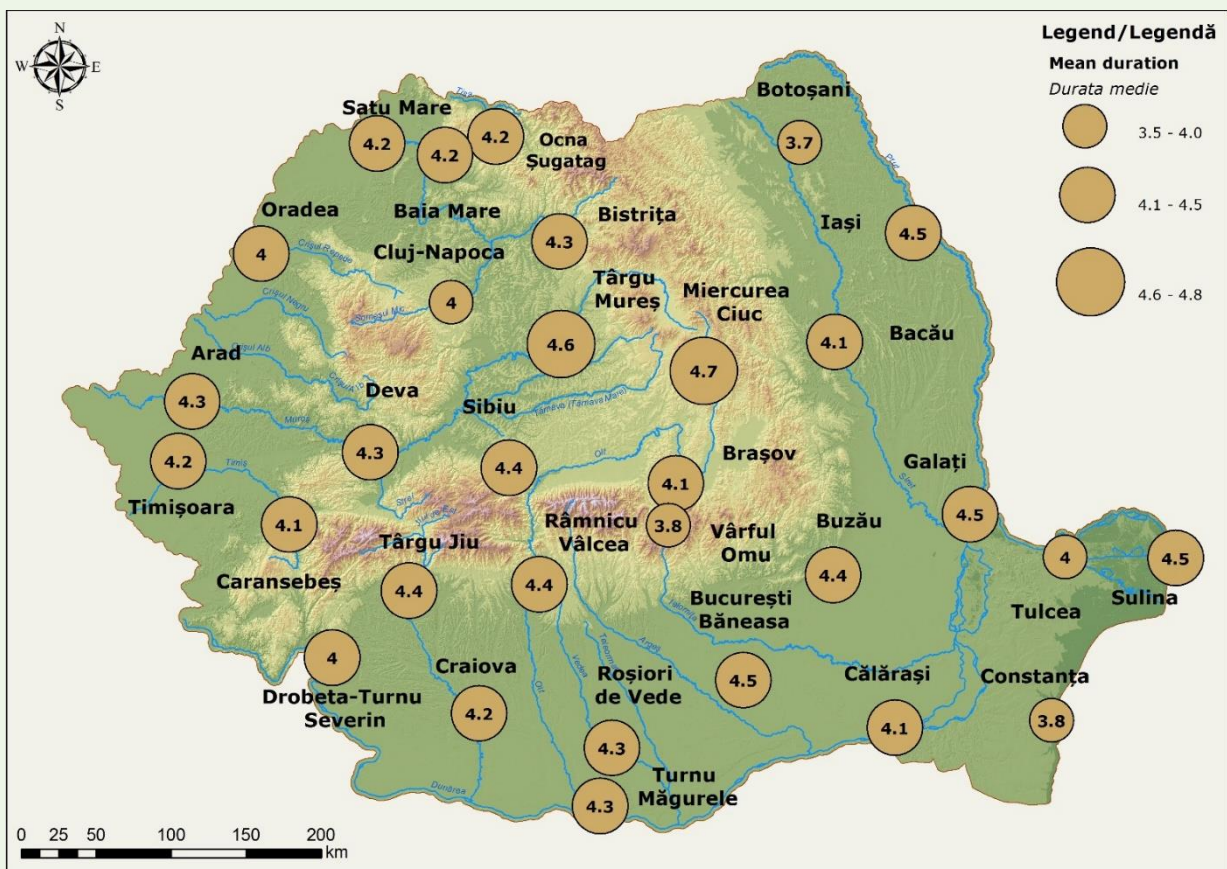


Fig. 1.120. Spatial distribution of the autumn mean duration of severe warm spells
 Distribuția spațială a duratei medii a perioadelor calde severe din anotimpul de toamnă

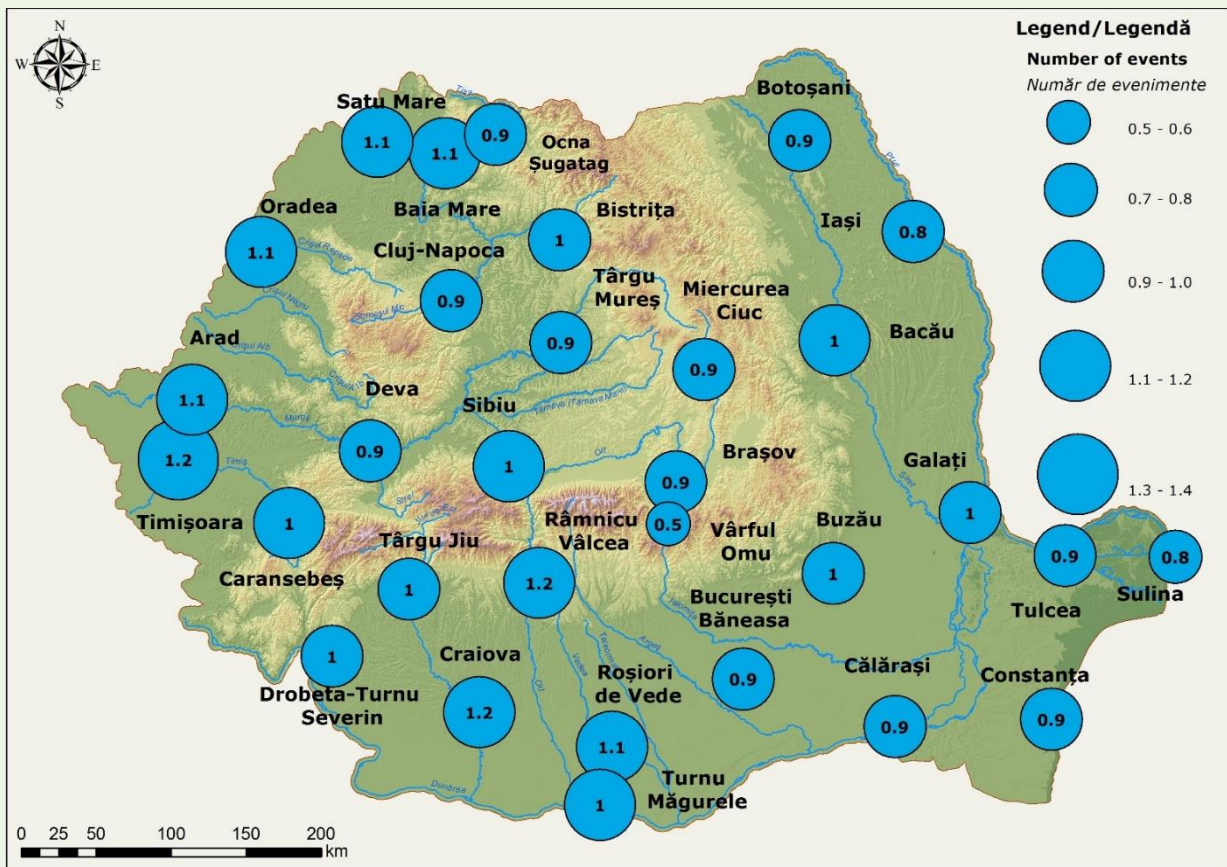


Fig. 1.121. Spatial distribution of the winter mean number of severe warm spells
Distribuția spațială a numărului mediu al perioadelor calde severe din anotimpul de iarnă

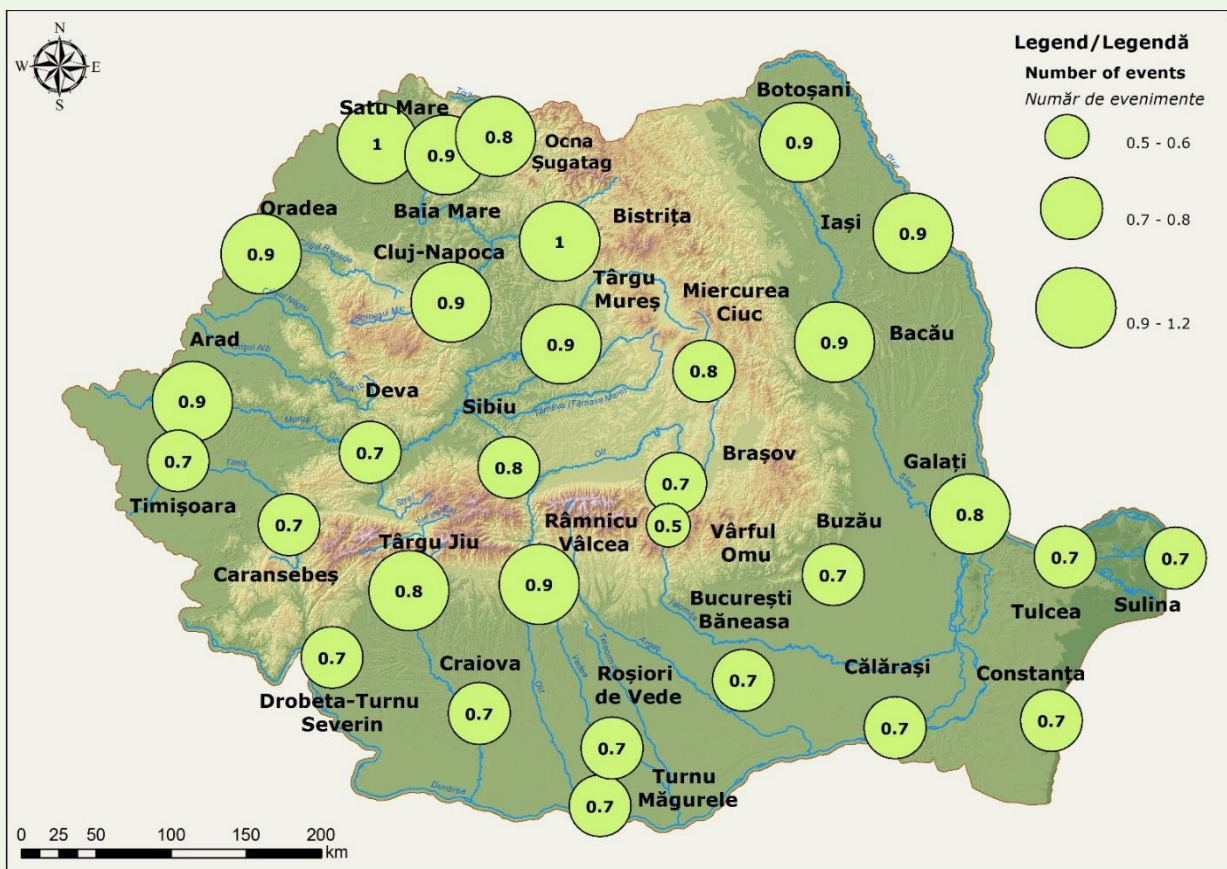


Fig. 1.122. Spatial distribution of the spring mean number of severe warm spells
Distribuția spațială a numărului mediu al perioadelor calde severe din anotimpul de primăvară

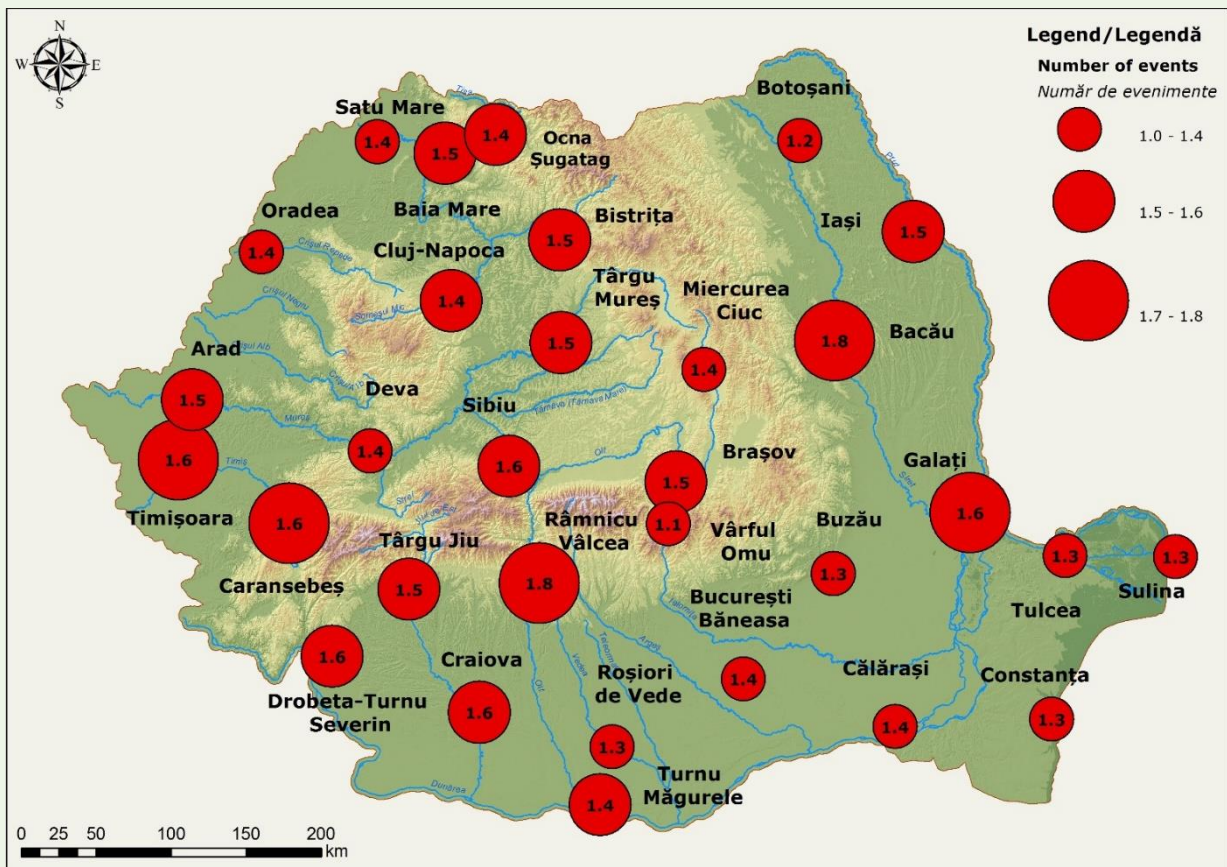


Fig. 1.123. Spatial distribution of the summer mean number of severe heat waves
 Distribuția spațială a numărului mediu al valurilor de căldură severe din anotimpul de vară

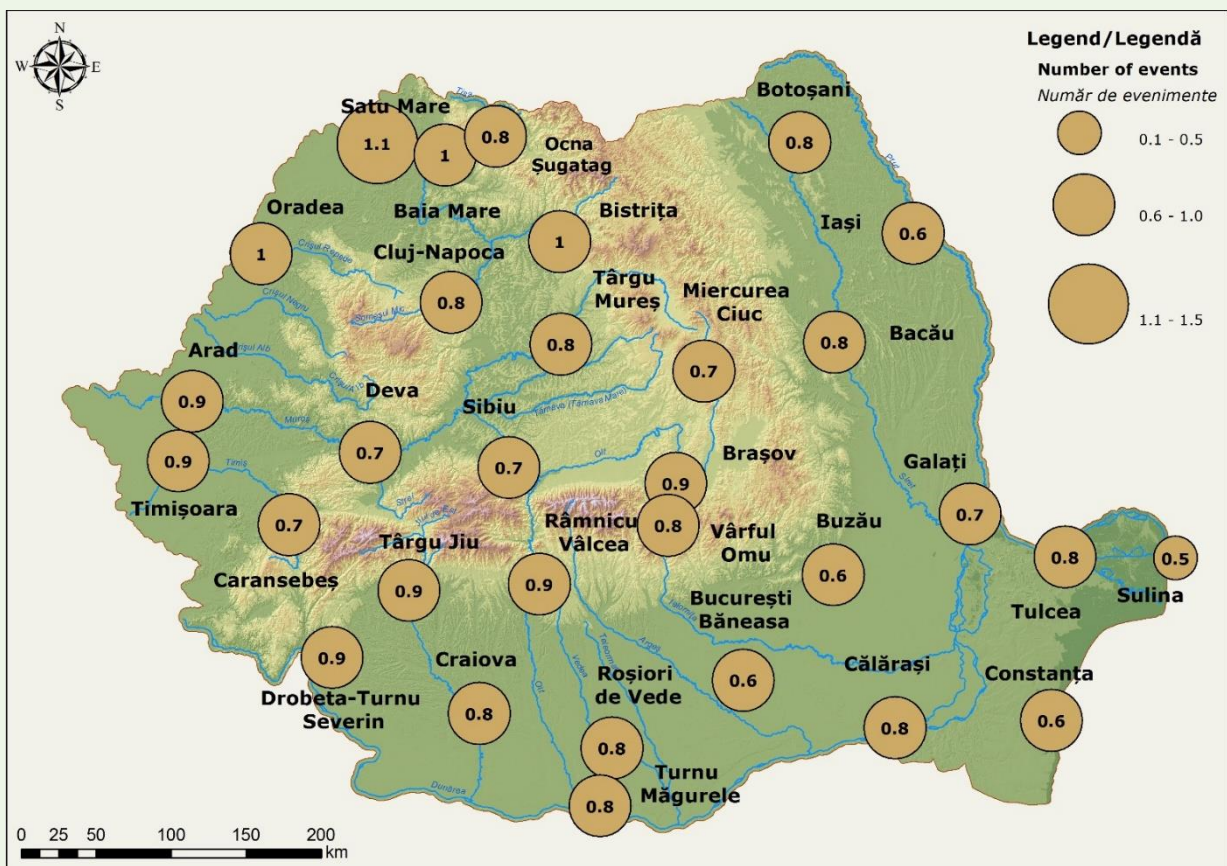


Fig. 1.124. Spatial distribution of the autumn mean number of severe warm spells
 Distribuția spațială a numărului mediu al perioadelor calde severe din anotimpul de toamnă